

KYBER의 NTT 제거 가능성 분석

240111

국민대학교 류지은

INDEX

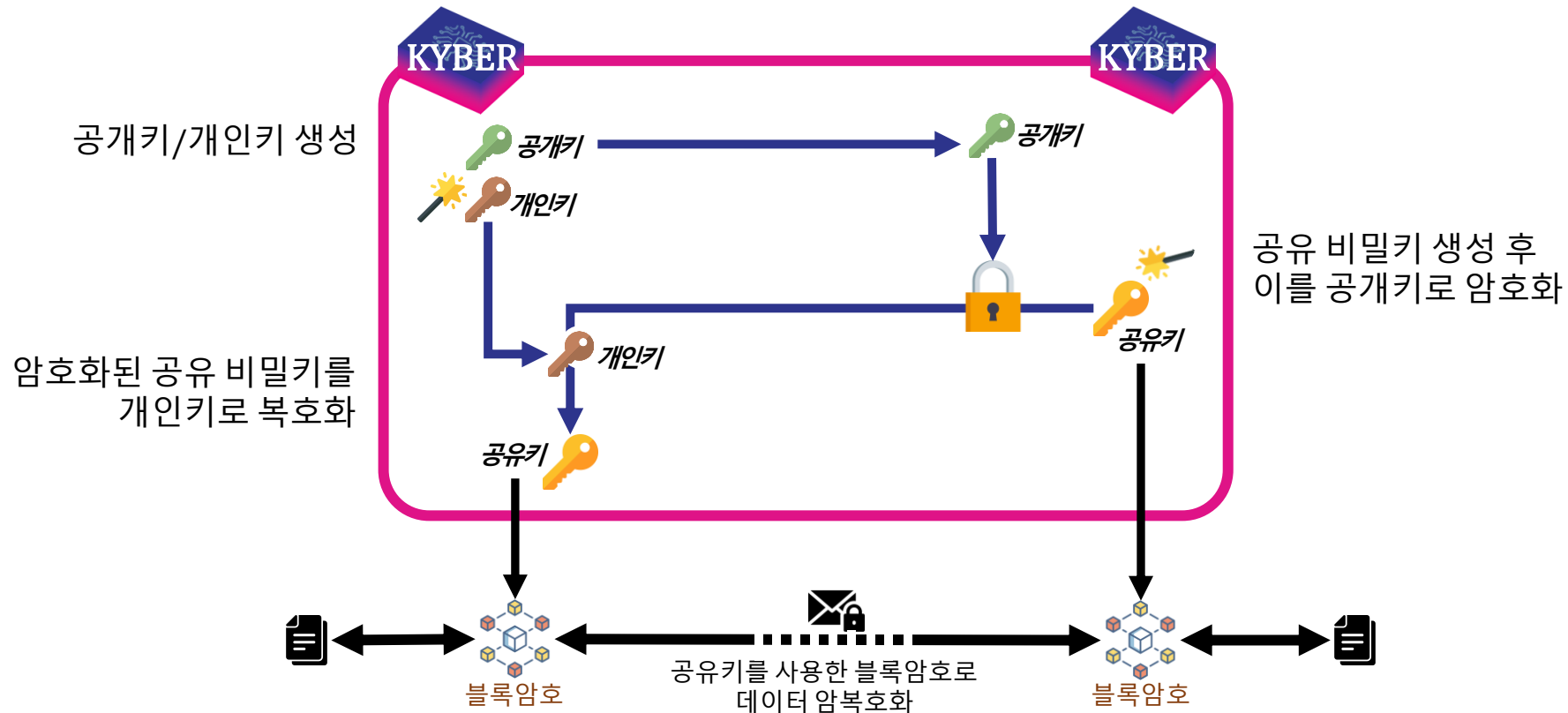
1. KYBER 개요
2. NTT 적용 영역
3. NTT와 FFT
4. Montgomery Multiplication



KYBER 개요

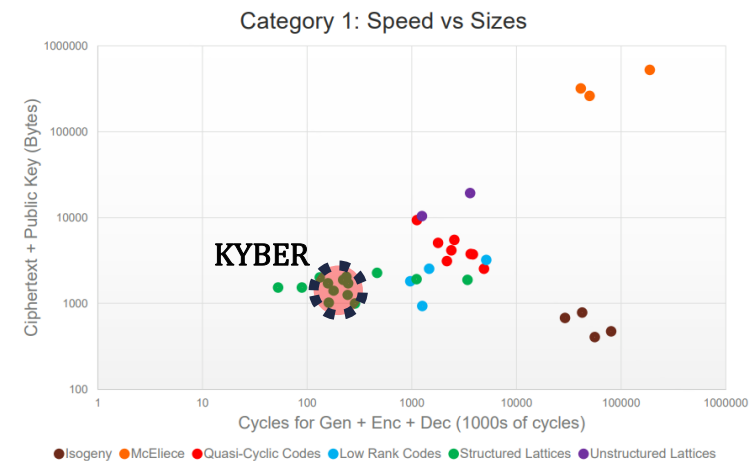
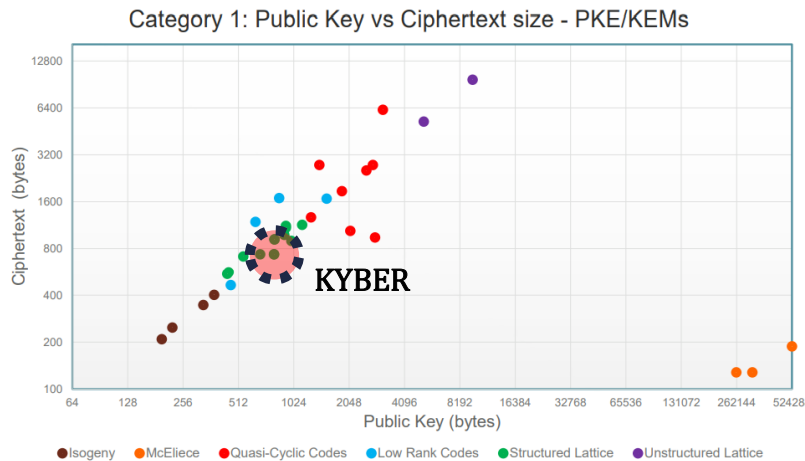
2005년 Oded Regev에 의하여 제안되어 발전한 KEM(Key Encapsulation Mechanism) 알고리즘

KEM 두 party가 데이터 암호화에 사용되는 비밀키를 공유하기 위하여
공개키 알고리즘을 활용하여 키를 생성 및 교환하는 과정



2017년부터 진행된 NIST PQC 공모전에서 2022년 7월 KEM 표준으로 선정됨

파라미터 및 암호문의 크기와 동작 속도의 측면에서 격자 기반 암호시스템으로서 이점을 가짐

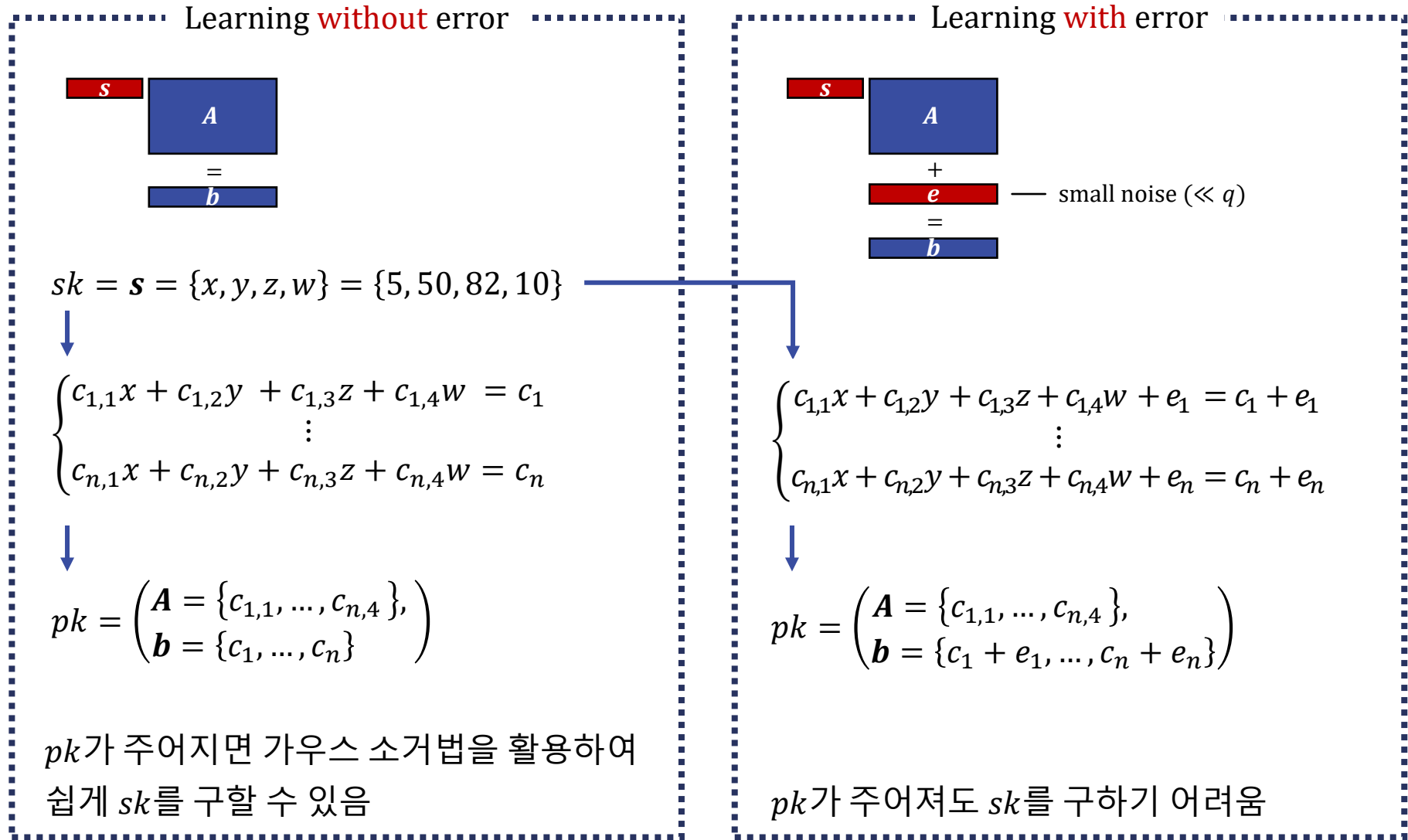


NIST PQC 공모전 3라운드 후보 KEM 알고리즘 비교

	KYBER	NTRU	SABER
기반문제	LWE(learning with error)	NTRU	LWR(learning with rounding)
다항식 환	$R = Z_q[x]/(x^n + 1)$	$R = Z[x]/(x^n - 1)$	$R = Z_q[x]/(x^n + 1)$
다항식 곱셈 알고리즘	NTT	합성곱	Toom-Cook, Karatsuba

그림 출처) D. Moody, "The 2nd round of the NIST PQC standardization process", In the second PQC standardization Conference, 2019.

LWE(learning with Error)

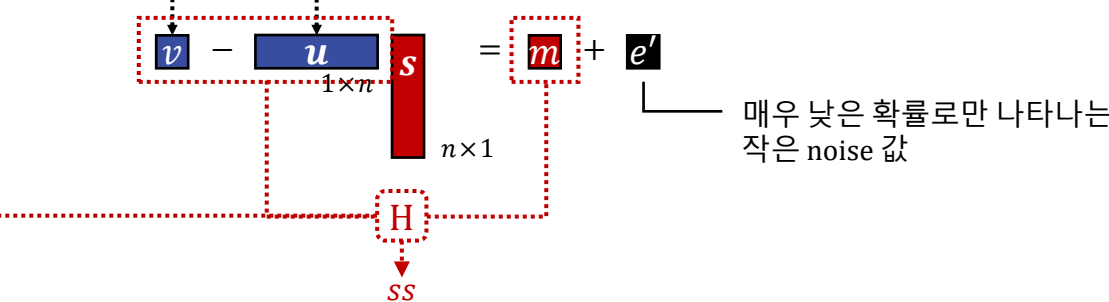


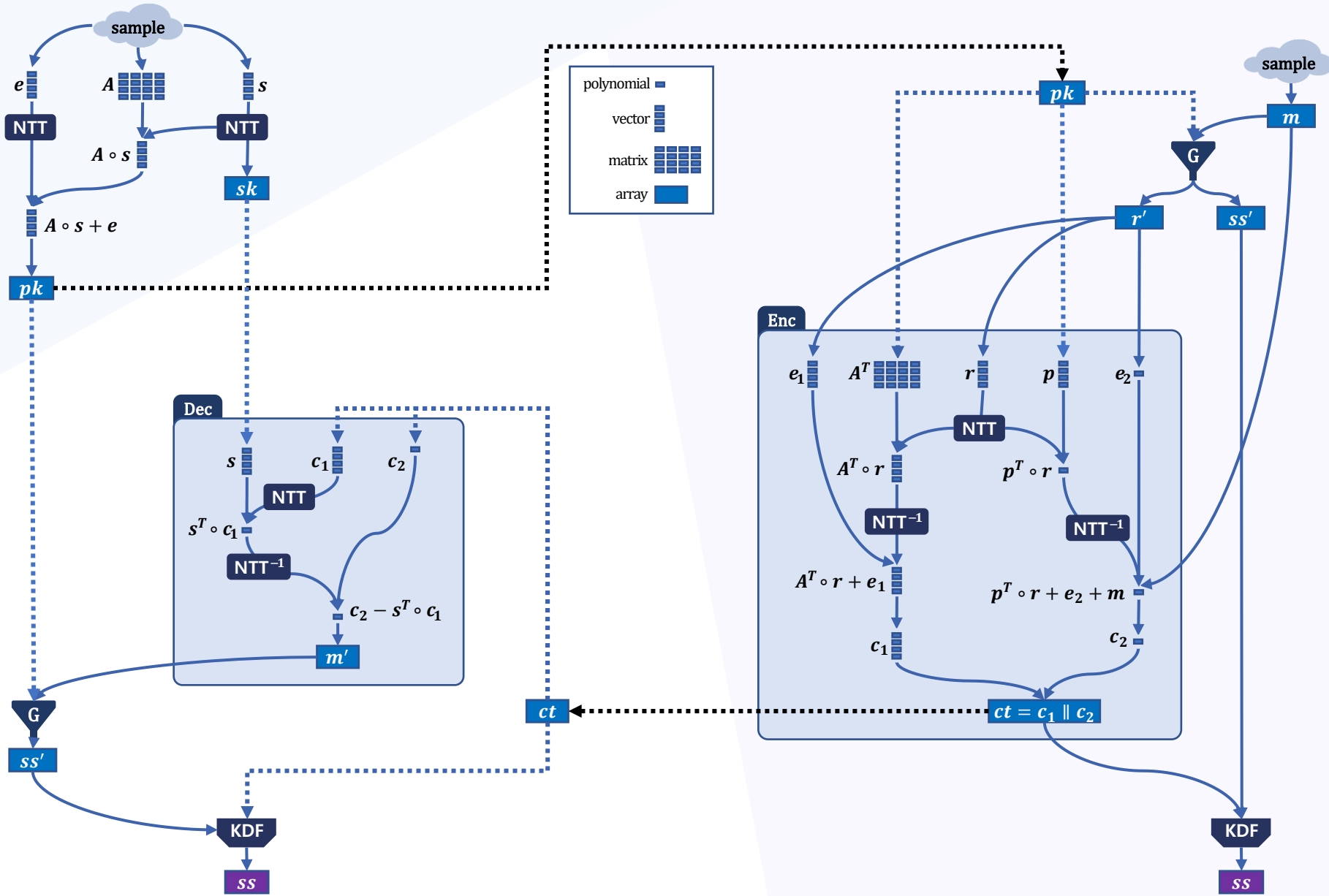


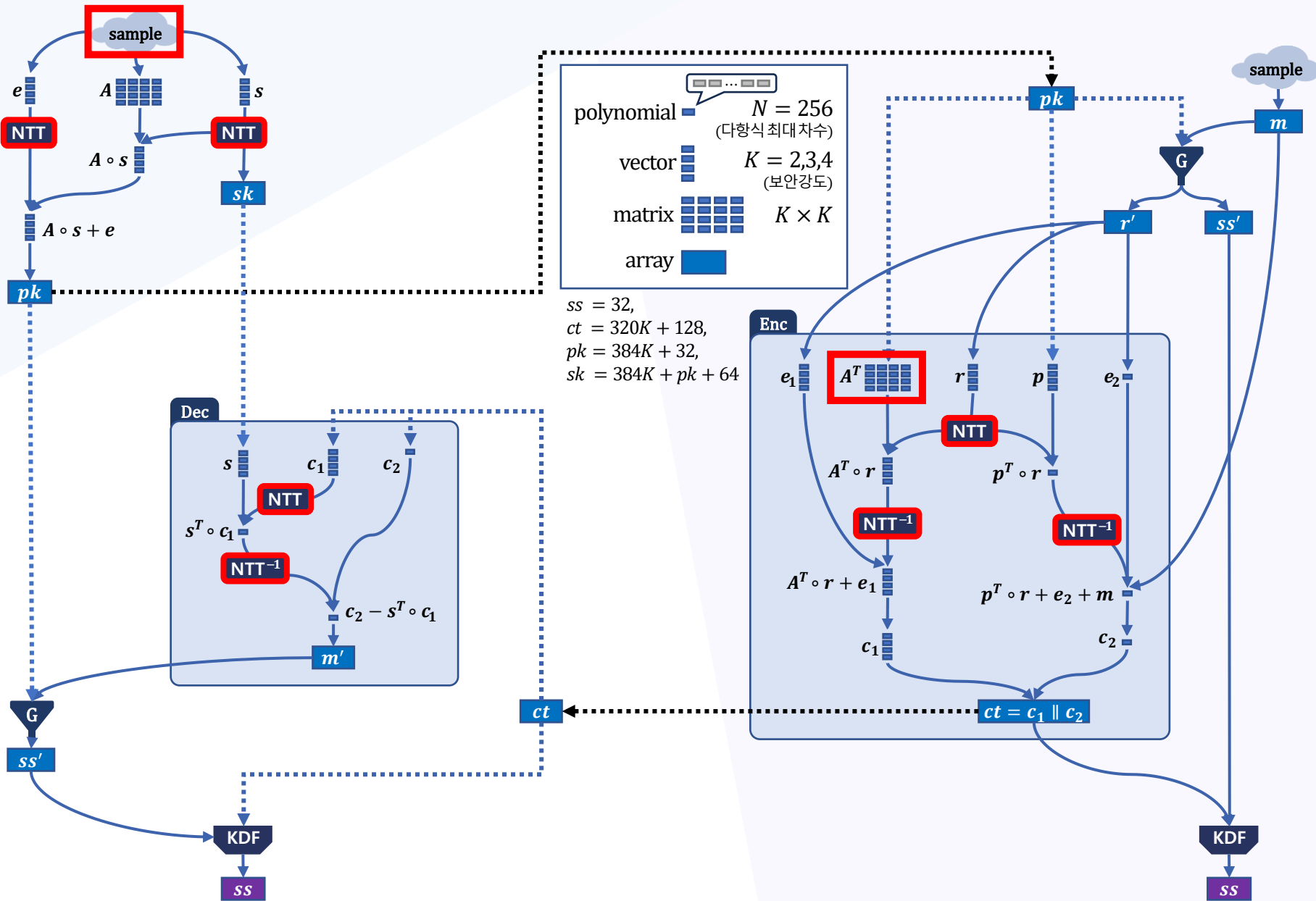
Key generation

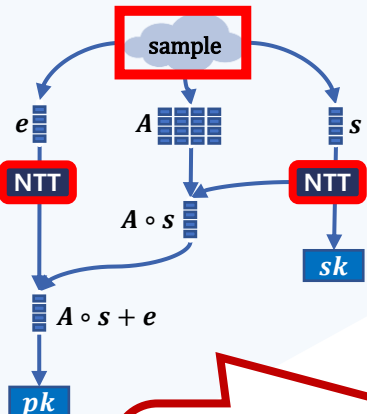


Encryption









암호 알고리즘의 첫 단계인
공개키 행렬 A 를 생성할 때부터
NTT 도메인을 전제함

Uniform sampling in R_q . KYBER uses a deterministic approach to sample elements in R_q that are statistically close to a uniformly random distribution. For this sampling we use a function $\text{Parse}: \mathcal{B}^* \rightarrow R_q$, which receives as input a byte stream $B = b_0, b_1, b_2, \dots$ and computes the NTT-representation $\hat{a} = \hat{a}_0 + \hat{a}_1 X + \dots + \hat{a}_{n-1} X^{n-1} \in R_q$ of $a \in R_q$. Parse is described in Algorithm 1 (note that this description assumes that $q = 3329$).

Algorithm 7 KYBER.CCAKEM.KeyGen()

Output: Public key $pk \in \mathcal{B}^{12 \cdot k \cdot n/8+32}$
Output: Secret key $sk \in \mathcal{B}^{24 \cdot k \cdot n/8+96}$

- 1: $z \leftarrow \mathcal{B}^{32}$
- 2: $(pk, sk') := \text{KYBER.CPAPKE.KeyGen}()$
- 3: $sk := (sk' \| pk \| H(pk) \| z)$
- 4: **return** (pk, sk)

Algorithm 4 KYBER.CPAPKE.KeyGen(): key generation

Output: Secret key $sk \in \mathcal{B}^{12 \cdot k \cdot n/8}$
Output: Public key $pk \in \mathcal{B}^{12 \cdot k \cdot n/8+32}$

- 1: $d \leftarrow \mathcal{B}^{32}$
- 2: $(\rho, \sigma) := G(d)$
- 3: $N := 0$
- 4: **for** i from 0 to $k - 1$ **do**
- 5: **for** j from 0 to $k - 1$ **do**
- 6: $A[i][j] := \text{Parse}(\text{XOF}(\rho, j, i))$
- 7: **end for**
- 8: **end for**
- 9: **for** i from 0 to $k - 1$ **do**
- 10: $s[i] := \text{CBD}_{\eta_1}(\text{PRF}(\sigma, N))$
- 11: $N := N + 1$
- 12: **end for**
- 13: **for** i from 0 to $k - 1$ **do**
- 14: $e[i] := \text{CBD}_{\eta_1}(\text{PRF}(\sigma, N))$
- 15: $N := N + 1$
- 16: **end for**
- 17: $\hat{s} := \text{NTT}(s)$

Algorithm 1 Parse: $\mathcal{B}^* \rightarrow R_q^n$

Input: Byte stream $B = b_0, b_1, b_2, \dots \in \mathcal{B}^*$
Output: NTT-representation $\hat{a} \in R_q$ of $a \in R_q$

```

i := 0
j := 0
while j < n do
  d1 := b_i + 256 · (b_{i+1} mod 16)
  d2 := [b_{i+1}/16] + 16 · b_{i+2}
  if d1 < q then
    a_j := d1
    j := j + 1
  end if
  if d2 < q and j < n then
    a_j := d2
    j := j + 1
  end if
  i := i + 3
end while
return  $\hat{a}_0 + \hat{a}_1 X + \dots + \hat{a}_{n-1} X^{n-1}$ 
  
```

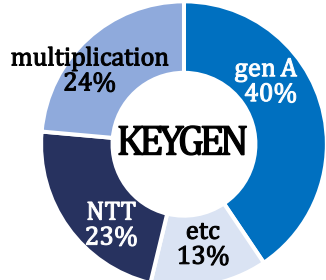
NTT를 사용하지 않기 위해서는
같은 분포를 따르는 sampling 알고리즘을
자체적으로 설계해야 함
(test vector 없음)

The NTT domain. Computing the discrete Fourier transform on elements from R_q can be done with methods analogous to the fast Fourier transform [31], except that operations on coefficients are defined in a finite field [64]. This is often referred to as the number theoretic transform (NTT). Before being able to define the expansion of the seed ρ into the matrix A , we need to define the NTT domain of polynomials. Let $\omega = 3844 \in \mathbb{Z}_q$ and $\psi = \sqrt{\omega} = 62$, where ψ is chosen as the smallest element of multiplicative order 2^9 in $\mathbb{F}_q^* = \mathbb{F}_{7681}^*$.

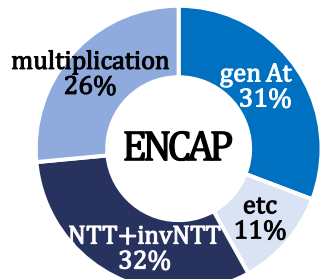
Generation of A . Generation of the matrix $A = (a_{i,j}) \in R_q^{k \times k}$ receives as input the public seed ρ . To generate the entry $a_{i,j} \in R_q$ we first expand ρ through cSHAKE-128 with the 2-byte domain separator (i, j) . The output of this expansion is considered a stream of 16-bit little-endian integers. On this sequence of 16-bit integers we run rejection sampling to obtain coefficients in $\{0, \dots, q - 1\}$. The resulting polynomial $a_{i,j}$ is assumed to be in NTT domain.

함수별 소요 시간 측정 결과

PC에서 KEM 알고리즘별 세부 함수 동작 속도 비율



보드에서 KEM 알고리즘별 세부 함수 동작 속도 비율



(단위 : ms)

KEM	PC	보드	PKE	PC	보드	세부 함수	PC	보드
KeyGen	0.121	9.12	KeyGen	0.106	8.25	gen A	0.043	3.61
						NTT	0.024	1.55
						multiplication	0.025	1.91
						etc	0.014	1.18
Encapsulation	0.143	11.12	Encrypt	0.119	9.30	gen A^T	0.036	3.60
						NTT+invNTT	0.037	2.19
						multiplication	0.031	2.28
						etc	0.015	1.23
Decapsulation	0.163	11.96	Decrypt	0.026	1.73	NTT+invNTT	0.018	1.04
						multiplication	0.005	0.20
						etc	0.003	0.49
						Encrypt	0.119	9.30
						etc	0.028	0.93

측정 환경 : PC) 13th Gen Intel(R) Core(TM) i9-13900K 3.00GHz, 128GB RAM
보드) Arty Z7 Xilinx FPGA 650MHz dual-core Cortex-A9 512MB DDR3

- 전체적으로 보드가 PC보다 약 80배정도 느림
- 함수에 따른 병목현상은 PC와 보드가 비슷하게 나타남

NTT와 FFT

KYBER는 다항식 환 $R_q = \mathbb{Z}_q[x]/\langle x^N + 1 \rangle$ 와
 $N = 256 = 2^8, q = 3329$ 를 사용하는 LWE 문제에 기반함

NTT(Number Theoretic Transformation)

다항식 환 $R^+ := \mathbb{Z}[x]/\langle x^N + 1 \rangle$ 의 원소를 $R_q^- := \mathbb{Z}_q[x]/\langle x^N - 1 \rangle$ 의 원소로 변환한 후
DFT을 적용하는 알고리즘

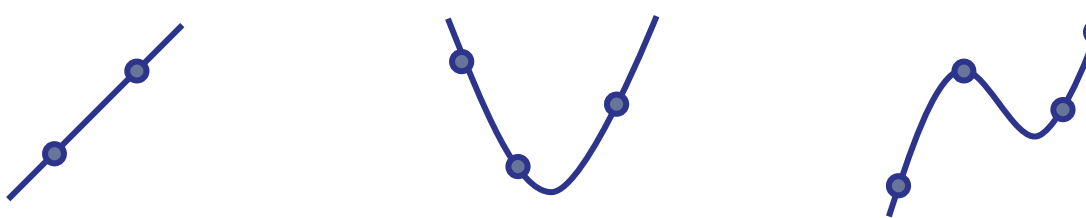
DFT(Discrete Fourier Transformation)

$R_q^- := \mathbb{Z}_q[x]/\langle x^N - 1 \rangle$ 의 원소를 R_q^- 의 원소로 변환하는 알고리즘

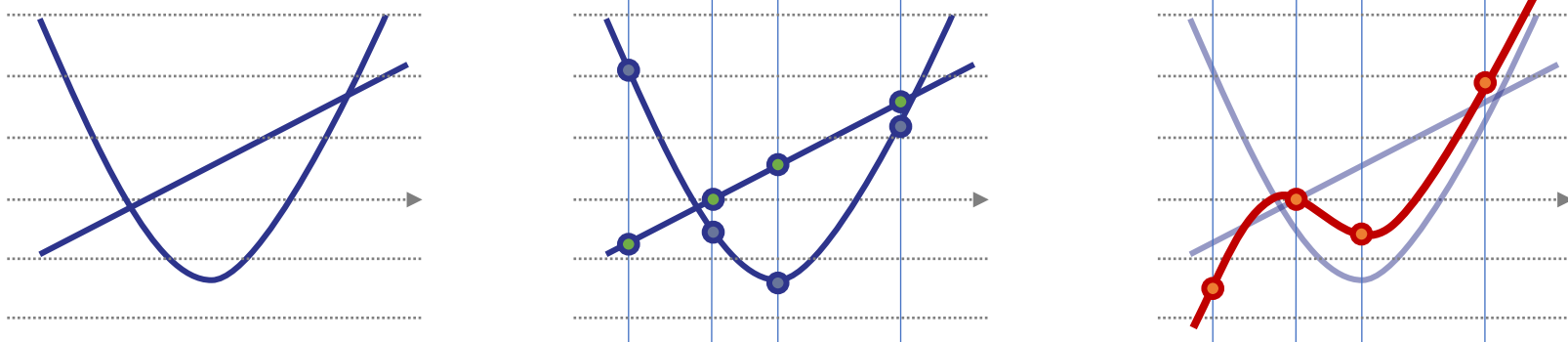
Fast Fourier Transformation(FFT)

$N = 2^k$ ($k \in \mathbb{Z}^+$) 일 때, N 차 다항식에 대하여 DFT를 $O(N \log N)$ 으로 계산하는 알고리즘

서로 다른 N 개의 point로 $N - 1$ 차 다항식을 표현할 수 있다는 아이디어를 통해
다항식 곱셈을 수행할 수 있음 (예를 들어, 1차 다항식은 2개의 point, 2차 다항식은 3개의 point로 표현할 수 있음)

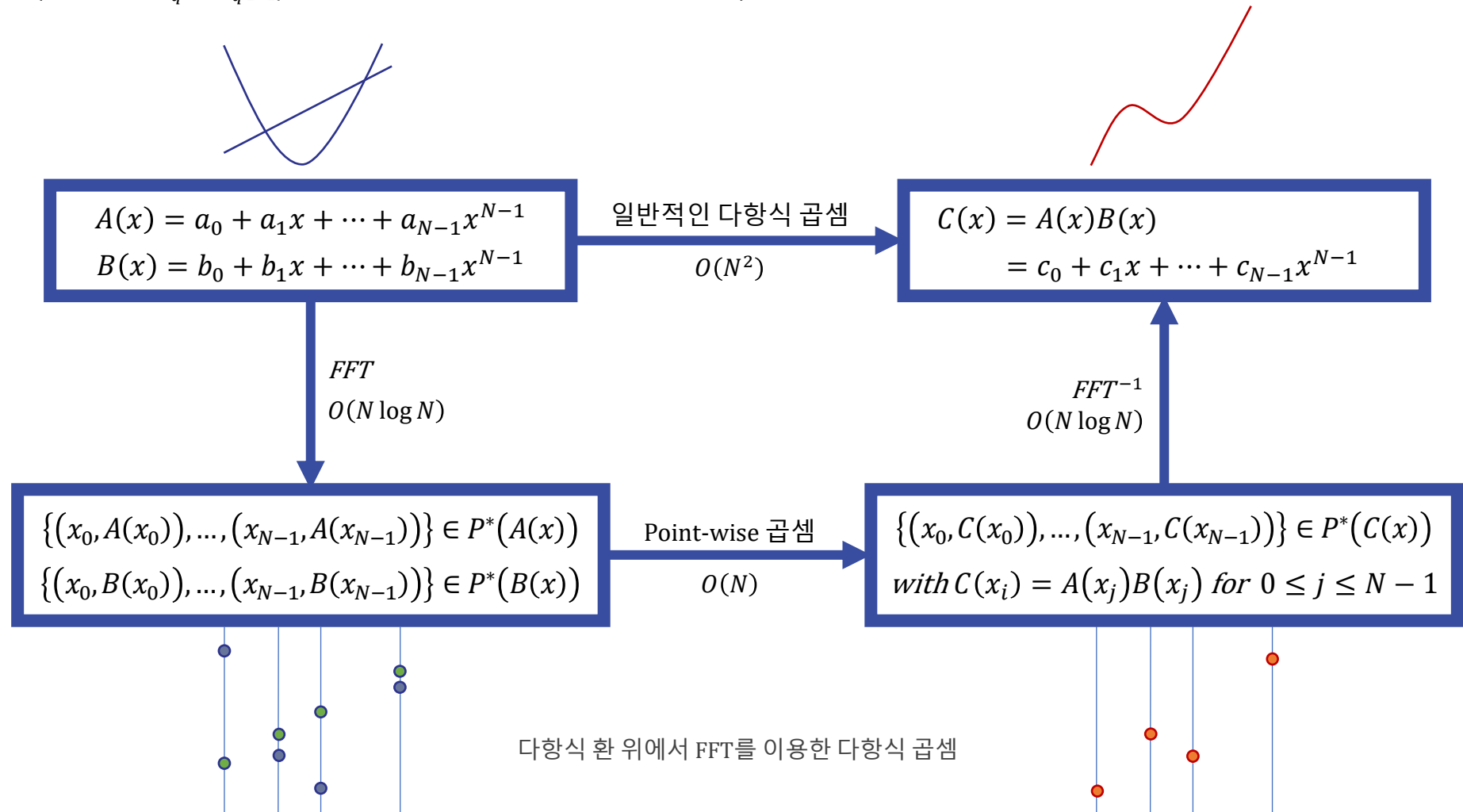


다항식 $A(x), B(x)$ 이 주어지고, $C(x) = A(x)B(x)$ 라고 할 때,
 $x = \tilde{x}$ 에 대하여 $C(\tilde{x}) = A(\tilde{x})B(\tilde{x})$ 이므로 N 개의 x_j ($0 \leq j < N$)에 대한 $A(x_j), B(x_j)$ 를 구하면
 N 개의 point $(x_j, C(x_j) = A(x_j)B(x_j))$ 를 얻어 $C(x)$ 를 구할 수 있음



NTT와 FFT

이때 $N - 1$ 차 다항식으로부터 N 개의 point를 얻는 알고리즘이 *FFT*이고,
FFT 역연산 알고리즘인 FFT^{-1} 로 N 개의 point로부터 $N - 1$ 차 다항식을 얻을 수 있음
(다항식 환 $R_q = \mathbb{Z}_q[x]/\langle x^N + 1 \rangle$ 위에서의 다항식 곱셈이기 때문)



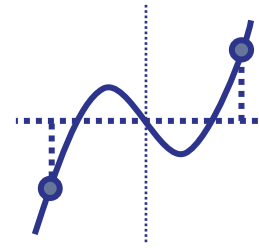
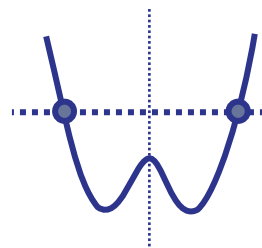
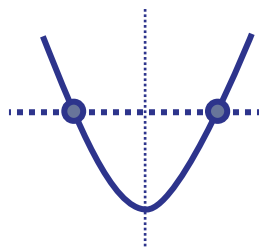
FFT 알고리즘을 설계하는 과정의 핵심은 어떻게 point를 선택할 것인가임

하나의 x 에서 얻은 $A(x), B(x)$ 의 값을 반복해서 사용할 수 있도록 point를 선택함

임의의 다항식 $P(x)$ 에 대하여

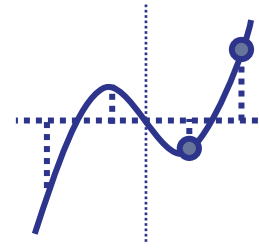
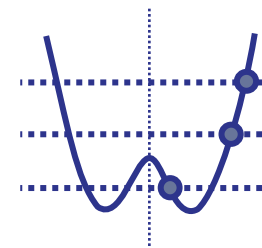
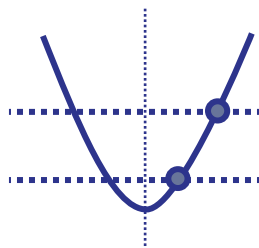
$P(x)$ 가 짝수 차수 함수인 경우 $(x, P(x))$ 를 구하면 $(-x, P(x))$ 가 또 다른 point가 되고,

$P(x)$ 가 홀수 차수 함수인 경우 $(x, P(x))$ 를 구하면 $(-x, -P(x))$ 가 또 다른 point가 됨



즉, $N - 1$ 차 다항식을 얻기 위하여 N 개의 point를 구하는 대신 $N/2$ 개의 point만 구해도 됨

KYBER 파라미터를 고려하여 이후 나오는 N 은 2^t ($t \in \mathbb{Z}^+$)라고 가정



임의의 다항식 $P(x)$ 의 짝수 차수 항들을 모은 다항식을 $P_e(x)$ 라고 하고,
홀수 차수 항들을 모은 다항식을 $P_o'(x)$ 라고 하면

$$P(x) = P_e(x) + P_o'(x)$$

그리고 $P_o'(x)$ 를 x 로 묶으면 $P(x) = P_e(x) + xP_o(x)$ 를 얻을 수 있음

이때 $P(x)$ 는 다음 성질을 만족함

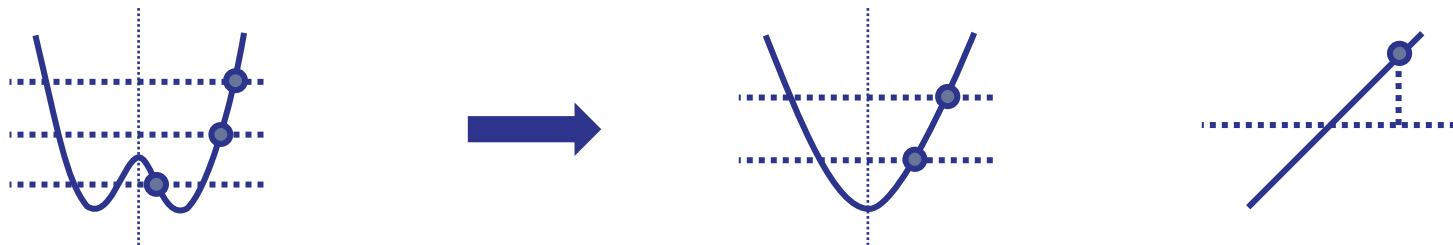
$$P(x) = P_e(x) + xP_o(x)$$

$$P(-x) = P_e(x) - xP_o(x)$$

$P_e(x)$ 와 $P_o(x)$ 는 짝수 차수 항들로만 이루어져 있으므로
 x^2 을 변수로 갖는 다항식 $P_e(x^2), P_o(x^2)$ 으로 생각할 수 있음

변수를 치환하면 차수가 각각 $N - 1$ 에서 $\frac{N}{2} - 1$ 로 줄어듦

$P_e(x^2), P_o(x^2)$ 을 구하기 위해서는 각각 $N/2$ 개의 서로 다른 point를 찾으면 되고,
 $P(x)$ 는 $N/2 + N/2$ 개의 point로 구할 수 있음($N/2$ 개의 point는 따로 구하지 않고 이전에 구한 point를 통해 얻음)



$$\begin{aligned} P(x) &= x^4 + ax^3 + bx^2 + cx + d \\ &= (x^4 + bx^2 + d) + x(ax^2 + c) \\ &= P_e(x) + xP_o(x) \end{aligned}$$

$$t = x^2$$

$$\begin{aligned} P_e(x) &= x^4 + bx^2 + d \\ P_e(x^2) &= (x^2)^2 + b(x^2) + d \end{aligned}$$

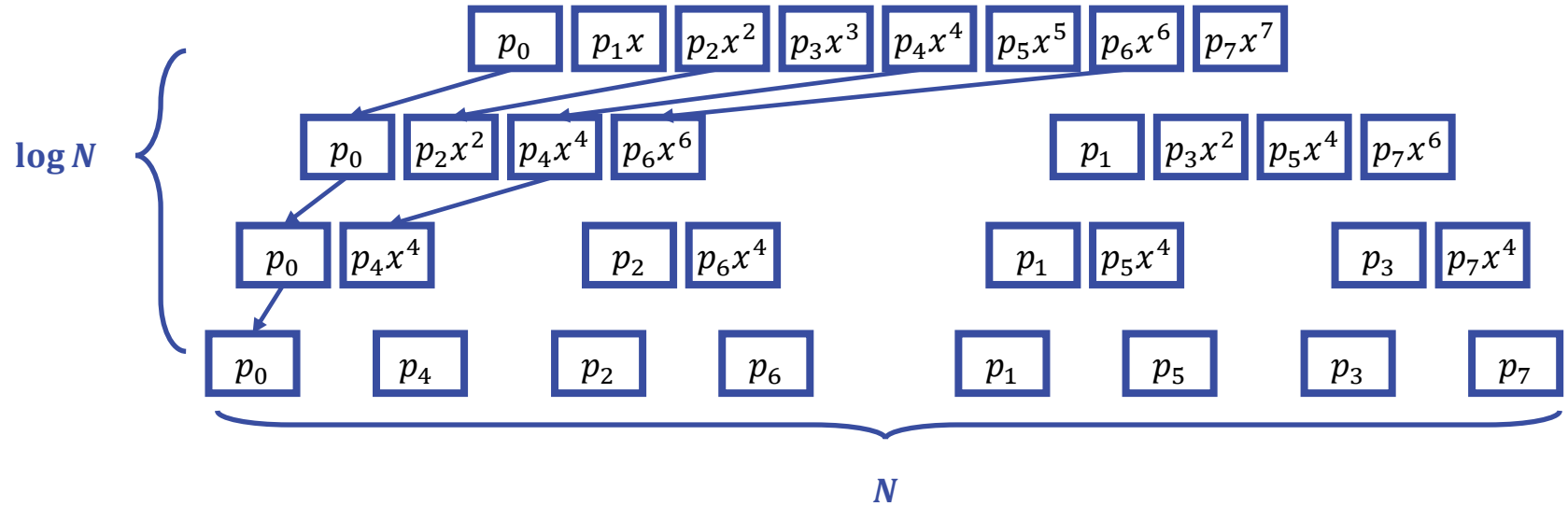
$$\begin{aligned} P_o(x) &= ax^2 + c \\ P_o(x^2) &= a(x^2) + c \end{aligned}$$

$$\begin{aligned} P_e(t) &= t^2 + bt + d \\ &= (t^2 + d) + t(b) \\ &= P'_e(t) + tP'_o(t) \end{aligned}$$

$$\begin{aligned} P_o(t) &= at + c \\ &= (c) + t(a) \\ &= P''_e(t) + tP''_o(t) \end{aligned}$$

$$P(x) = p_0 + p_1x + \cdots + p_7x^7$$

$$= (p_0 + p_2x^2 + p_4x^4 + p_6x^6) + x(p_1 + p_3x^2 + p_5x^4 + p_7x^6) = P_e(x^2) + xP_o(x^2)$$



각 단계에서 $N/2$ 개의 point는 따로 구하지 않고 이전에 구한 point를 통해 얻음

$$\begin{aligned} P(x) &= p_0 + p_1x + \cdots + p_{N-1}x^{N-1} \\ &= (p_0 + p_2x^2 + \cdots + p_{N-2}x^{N-2}) + x(p_1 + p_3x^2 + \cdots + p_{N-1}x^{N-2}) = P_e(x^2) + xP_o(x^2) \end{aligned}$$

$$P(x) = P_e(x^2) + xP_o(x^2)$$

$$P(-x) = P_e(x^2) - xP_o(x^2)$$

$$\{(x_0, P(x_0)), (-x_0, P(-x_0)), \dots, (x_{N/2-1}, P(x_{N/2-1})), (-x_{N/2-1}, P(-x_{N/2-1}))\} \in P^*(P(x))$$

$$\{(x_0, P_e(x_0^2)), (-x_0, P_e(x_0^2)), (x_1, P_e(x_1^2)), \dots, (x_{N/2-1}, P_e(x_{N/2-1}^2)), (-x_{N/2-1}, P_e(x_{N/2-1}^2))\} \in P^*(P_e(x^2))$$

$$\{(x_0, P_o(x_0^2)), (-x_0, P_o(x_0^2)), (x_1, P_o(x_1^2)), \dots, (x_{N/2-1}, P_o(x_{N/2-1}^2)), (-x_{N/2-1}, P_o(x_{N/2-1}^2))\} \in P^*(P_o(x^2))$$

모든 재귀적 과정에서 $P(x)$ 에 대한 $(P_e(x_j^2), P_o(x_j^2)$ 에 대한) $\pm x_j$ pair는
복소수 상에서 언제나 보장할 수 있음

Point 선택

$\omega := e^{2\pi i/N}$ 이라고 하면

(Euler's formula $e^{ix} = \cos x + i \sin x$)

$\omega^j = e^{2\pi ij/N}$ ($0 \leq j \leq N - 1$)이고

$-\omega^j = \omega^{j+N/2}$ 이므로

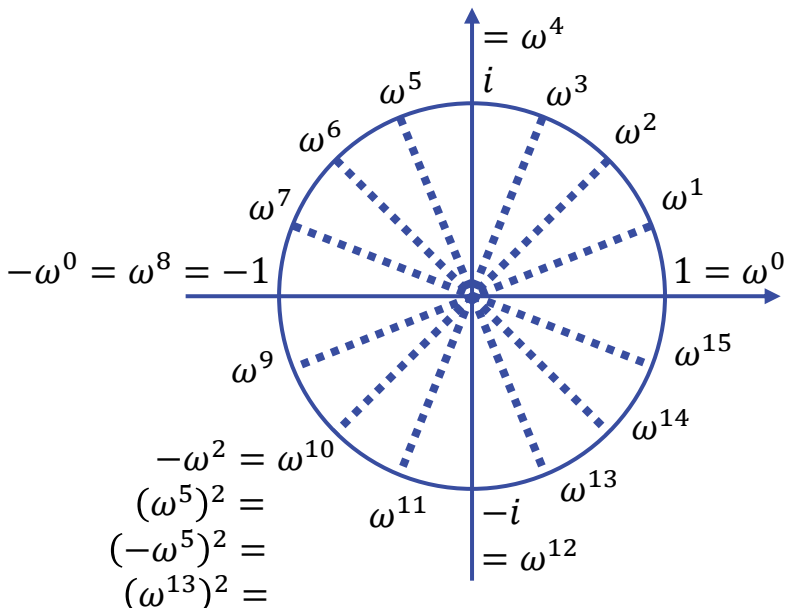
ω^j 와 $-\omega^{j+N/2}$ 는 $\pm x_j$ pair임

ω^j 에 대하여 $\omega^{2j}, \omega^{2j+N/2}$ 으로

쉽게 새로운 $\pm x_j$ pair를 구할 수 있음

⇒ 재귀적 함수를 구현하기에 편리함

($N = 2^t$ 형태이므로 $N/2$ 를 수행할 때 문제가 없음)



$$P(\omega) = p_0 + p_1\omega + \cdots + p_{N-1}\omega^{N-1}$$

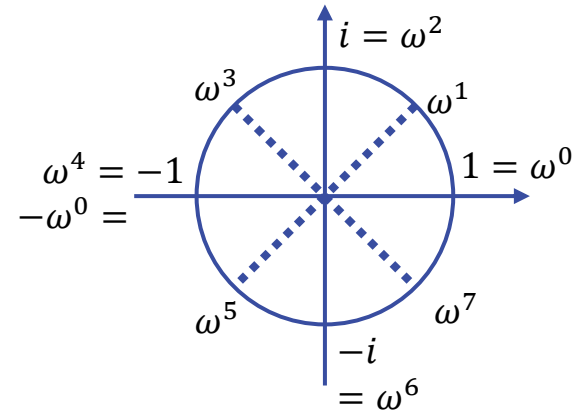
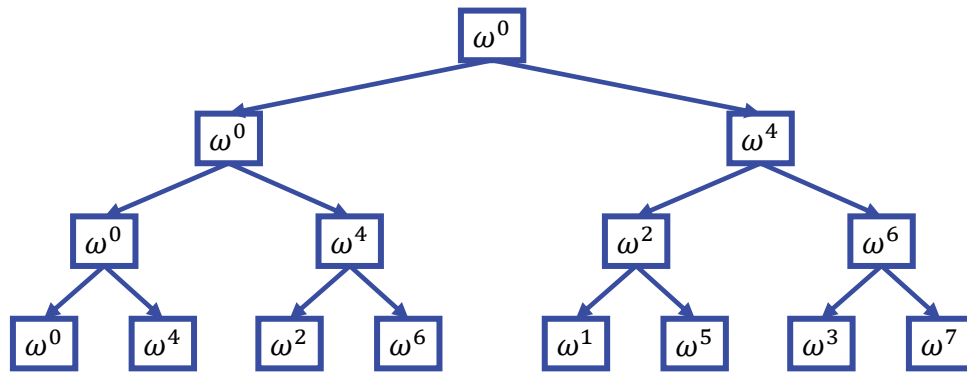
$$= (p_0 + p_2\omega^2 + \cdots + p_{N-2}\omega^{N-2}) + \omega(p_1 + p_3\omega^2 + \cdots + p_{N-1}\omega^{N-2}) = P_e(\omega^2) + \omega P_o(\omega^2)$$

$$P(\omega) = P_e(\omega^2) + \omega P_o(\omega^2)$$

$$P(-\omega) = P_e(\omega^2) - \omega P_o(\omega^2)$$

$$\{(\omega^0, P(\omega^0)), (-\omega^0, P(-\omega^0)), \dots, (\omega^{N/2-1}, P(\omega^{N/2-1})), (-\omega^{N/2-1}, P(-\omega^{N/2-1}))\} \in P^*(P(x))$$

$$\Leftrightarrow \{(\omega^0, P(\omega^0)), (\omega^{N/2}, P(\omega^{N/2})), \dots, (\omega^{N/2-1}, P(\omega^{N/2-1})), (\omega^{N-1}, P(\omega^{N-1}))\} \in P^*(P(x))$$



NTT와 FFT

$$n = 8, w \leftarrow e^{\frac{2\pi i}{8}} = \omega$$

$$P(x) = [p_0 \ p_1 \ p_2 \ p_3 \ p_4 \ p_5 \ p_6 \ p_7]$$

$$\text{NTT}(P(x)) = [c_0 \ c_1 \ c_2 \ c_3 \ c_4 \ c_5 \ c_6 \ c_7]$$

$$n = 4 \ w \leftarrow e^{\frac{2\pi i}{4}} = \omega^2$$

$$P_e = [p_0 \ p_4]$$

$$n = 2, w \leftarrow e^{\frac{2\pi i}{2}} = \omega^4$$

$$y_e = p_0 \quad y_o = p_4$$

$$y[0] = y_e[0] + w^0 y_o[0] = p_0 + \omega^0 p_4$$

$$y[1] = y_e[0] - w^0 y_o[0] = p_0 - \omega^0 p_4$$

$$y_e = [y[0] \ y[1]]$$

$$P_e = [p_0 \ p_2 \ p_4 \ p_6]$$

$$n = 2, w \leftarrow e^{\frac{2\pi i}{2}} = \omega^4$$

$$y_e = p_2 \quad y_o = p_6$$

$$y[0] = y_e[0] + w^0 y_o[0] = p_2 + \omega^0 p_6$$

$$y[1] = y_e[0] - w^0 y_o[0] = p_2 - \omega^0 p_6$$

$$y_o = [y[0] \ y[1]]$$

$$n = 4 \ w \leftarrow e^{\frac{2\pi i}{4}} = \omega^2$$

$$P_e = [p_1 \ p_5]$$

$$n = 2, w \leftarrow e^{\frac{2\pi i}{2}} = \omega^4$$

$$y_e = p_1 \quad y_o = p_5$$

$$y[0] = y_e[0] + w^0 y_o[0] = p_1 + \omega^0 p_5$$

$$y[1] = y_e[0] - w^0 y_o[0] = p_1 - \omega^0 p_5$$

$$y_e = [y[0] \ y[1]]$$

$$P_o = [p_1 \ p_3 \ p_5 \ p_7]$$

$$n = 2, w \leftarrow e^{\frac{2\pi i}{2}} = \omega^4$$

$$y_e = p_3 \quad y_o = p_7$$

$$y[0] = y_e[0] + w^0 y_o[0] = p_3 + \omega^0 p_7$$

$$y[1] = y_e[0] - w^0 y_o[0] = p_3 - \omega^0 p_7$$

$$y_o = [y[0] \ y[1]]$$

$$y[0] = y_e[0] + w^0 y_o[0] = (p_0 + \omega^0 p_4) + \omega^0 (p_2 + \omega^0 p_6)$$

$$y[2] = y_e[0] - w^0 y_o[0] = (p_0 + \omega^0 p_4) - \omega^0 (p_2 + \omega^0 p_6)$$

$$y[1] = y_e[1] + w^1 y_o[1] = (p_0 - \omega^0 p_4) + \omega^2 (p_2 - \omega^0 p_6)$$

$$y[3] = y_e[1] - w^1 y_o[1] = (p_0 - \omega^0 p_4) - \omega^2 (p_2 - \omega^0 p_6)$$

$$y_e = [y[0] \ y[1] \ y[2] \ y[3]]$$

$$y[0] = y_e[0] + w^0 y_o[0] = (p_1 + \omega^0 p_5) + \omega^0 (p_3 + \omega^0 p_7)$$

$$y[2] = y_e[0] - w^0 y_o[0] = (p_1 + \omega^0 p_5) - \omega^0 (p_3 + \omega^0 p_7)$$

$$y[1] = y_e[1] + w^1 y_o[1] = (p_1 - \omega^0 p_5) + \omega^2 (p_3 - \omega^0 p_7)$$

$$y[3] = y_e[1] - w^1 y_o[1] = (p_1 - \omega^0 p_5) - \omega^2 (p_3 - \omega^0 p_7)$$

$$y_o = [y[0] \ y[1] \ y[2] \ y[3]]$$

$$c_0 = y[0] = y_e[0] + w^0 y_o[0] = (p_0 + \omega^0 p_4) + \omega^0 (p_2 + \omega^0 p_6) + \omega^0 ((p_1 + \omega^0 p_5) + \omega^0 (p_3 + \omega^0 p_7))$$

$$c_4 = y[4] = y_e[0] - w^0 y_o[0] = (p_0 + \omega^0 p_4) + \omega^0 (p_2 + \omega^0 p_6) - \omega^0 ((p_1 + \omega^0 p_5) + \omega^0 (p_3 + \omega^0 p_7))$$

$$c_1 = y[1] = y_e[1] + w^1 y_o[1] = (p_0 - \omega^0 p_4) + \omega^2 (p_2 - \omega^0 p_6) + \omega^1 ((p_1 - \omega^0 p_5) + \omega^2 (p_3 - \omega^0 p_7))$$

$$c_5 = y[5] = y_e[1] - w^1 y_o[1] = (p_0 - \omega^0 p_4) + \omega^2 (p_2 - \omega^0 p_6) - \omega^1 ((p_1 - \omega^0 p_5) + \omega^2 (p_3 - \omega^0 p_7))$$

$$c_2 = y[2] = y_e[2] + w^2 y_o[2] = (p_0 + \omega^0 p_4) - \omega^0 (p_2 + \omega^0 p_6) + \omega^2 ((p_1 + \omega^0 p_5) - \omega^0 (p_3 + \omega^0 p_7))$$

$$c_6 = y[6] = y_e[2] - w^2 y_o[2] = (p_0 + \omega^0 p_4) - \omega^0 (p_2 + \omega^0 p_6) - \omega^2 ((p_1 + \omega^0 p_5) - \omega^0 (p_3 + \omega^0 p_7))$$

$$c_3 = y[3] = y_e[3] + w^3 y_o[3] = (p_0 - \omega^0 p_4) - \omega^2 (p_2 - \omega^0 p_6) + \omega^3 ((p_1 - \omega^0 p_5) - \omega^2 (p_3 - \omega^0 p_7))$$

$$c_7 = y[7] = y_e[3] - w^3 y_o[3] = (p_0 - \omega^0 p_4) - \omega^2 (p_2 - \omega^0 p_6) - \omega^3 ((p_1 - \omega^0 p_5) - \omega^2 (p_3 - \omega^0 p_7))$$

DFT point 구하기

$$P(x) = p_0 + p_1x + \cdots + p_{N-1}x^{N-1}, \text{ point } x_0, x_1, \dots, x_{N-1}$$

$$\begin{pmatrix} P(x_0) \\ P(x_1) \\ \vdots \\ P(x_{N-1}) \end{pmatrix} = \begin{pmatrix} 1 & x_0 & x_0^2 & \cdots & x_0^{N-1} \\ 1 & x_1 & x_1^2 & \cdots & x_1^{N-1} \\ \vdots & \vdots & \vdots & \ddots & \vdots \\ 1 & x_{N-1} & x_{N-1}^2 & \cdots & x_{N-1}^{N-1} \end{pmatrix} \begin{pmatrix} p_0 \\ p_1 \\ \vdots \\ p_{N-1} \end{pmatrix}$$

point $\omega^0, \omega^1, \dots, \omega^{N-1}$

$$\begin{pmatrix} P(\omega^0) \\ P(\omega^1) \\ \vdots \\ P(\omega^{N-1}) \end{pmatrix} = \begin{pmatrix} 1 & \omega^0 & \omega^{0 \cdot 1} & \cdots & \omega^{0(N-1)} \\ 1 & \omega^1 & \omega^{1 \cdot 1} & \cdots & \omega^{1(N-1)} \\ \vdots & \vdots & \vdots & \ddots & \vdots \\ 1 & \omega^{N-1} & \omega^{(N-1) \cdot 1} & \cdots & \omega^{(N-1)(N-1)} \end{pmatrix} \begin{pmatrix} p_0 \\ p_1 \\ \vdots \\ p_{N-1} \end{pmatrix}$$

point DFT(discrete Fourier transform) matrix coefficient

DFT point 구하기

$$\begin{array}{c}
 \text{point } \omega^0, \omega^1, \dots, \omega^{N-1} \\
 \\
 \left(\begin{array}{c} P(\omega^0) \\ P(\omega^1) \\ \vdots \\ P(\omega^{N-1}) \end{array} \right) = \left(\begin{array}{ccccc} 1 & \omega^0 & \omega^{0 \cdot 1} & \cdots & \omega^{0(N-1)} \\ 1 & \omega^1 & \omega^{1 \cdot 1} & \cdots & \omega^{1(N-1)} \\ \vdots & \vdots & \vdots & \ddots & \vdots \\ 1 & \omega^{N-1} & \omega^{(N-1) \cdot 1} & \cdots & \omega^{(N-1)(N-1)} \end{array} \right) \left(\begin{array}{c} p_0 \\ p_1 \\ \vdots \\ p_{N-1} \end{array} \right)
 \end{array}$$

point DFT(discrete Fourier transform) matrix coefficient

$$\{(\omega^0, P(\omega^0)), (\omega^{N/2}, P(\omega^{N/2})), \dots, (\omega^{N/2-1}, P(\omega^{N/2-1})), (\omega^{N-1}, P(\omega^{N-1}))\} \in P^*(P(x))$$

KYBER 연산을 수행하는 다항식 환 위에서 ω 와 같이 사용할 수 있는 특정 값 \tilde{x} 가 존재함

이 값들로 $P(\tilde{x}), P(-\tilde{x})$ 를 계산하며 $P^*(P(x))$ 의 point들을 구하는 알고리즘이 FFT임

NTT와 FFT

NTT(Number Theoretic Transformation)는

다항식 환 $R^+ := \mathbb{Z}[x]/\langle x^N + 1 \rangle$ 의 원소를 $R_q^- := \mathbb{Z}_q[x]/\langle x^N - 1 \rangle$ 의 원소로 변환한 후
FFT을 적용하는 알고리즘

알고리즘 변형을 통하여 recursive FFT를 iteration method로 구현할 수 있음

Algorithm 1 Forward NTT of a polynomial
 $f = c_0 + c_1 X + \dots + c_{n-1} X^{n-1} \in \mathbb{Z}_q[X]/(X^n + 1)$
with precomputed roots of unity $\zeta_k = \zeta^{\text{brv}(k)}$, $0 \leq k < n$.

```

k ← 1
for l ← n/2; l > 0; l ← l/2 do
    for s ← 0; s < n; s ← j + l do
        for j ← s; j < s + l; j ← j + 1 do
            t ←  $\zeta_k \cdot c_{j+l}$ 
             $c_{j+l} \leftarrow c_j - t$ 
             $c_j \leftarrow c_j + t$ 
        end for
        k ← k + 1
    end for
end for

```

```

void ntt(int16_t r[256]) {
    unsigned int len, start, j, k;
    int16_t t, zeta;

    k = 1;
    for(len = 128; len >= 2; len >>= 1) {
        for(start = 0; start < 256; start = j + len) {
            zeta = zetas[k++];
            for(j = start; j < start + len; ++j) {

                t = fqmul(zeta, r[j + len]);
                r[j + len] = r[j] - t;
                r[j] = r[j] + t;
            }
        }
    }
}

```

Modular multiplication을 사용하는 이유

임의의 큰 수를 계속 곱해나가면 결과 값이 빠르게 증가함
수가 커질수록 모듈러(나눗셈) 연산에 드는 시간이 크게 증가함

→ 매번 modular 연산을 수행하며 곱셈을 수행하는 것이
메모리 사용과 시간 소비 면에서 효율적임

Montgomery Multiplication은
modular 연산과 함께 곱셈을 수행하는
constant-time multiplication임

Montgomery multiplication

```
static int16_t fqmul(int16_t a, int16_t b) {
    return montgomery_reduction((int32_t)a*b);
}
```

```
void ntt(int16_t r[256]) {
    unsigned int len, start, j, k;
    int16_t t, zeta;

    k = 1;
    for(len = 128; len >= 2; len >>= 1) {
        for(start = 0; start < 256; start = j + len) {
            zeta = zetas[k++];
            for(j = start; j < start + len; ++j) {

                t = fqmul(zeta, r[j + len]);
                r[j + len] = r[j] - t;
                r[j] = r[j] + t;
            }
        }
    }
}
```

Montgomery Multiplication

Montgomery Representation

$$x_R = xR, y_R = yR$$

$$x_R \cdot y_R = xR \cdot yR = xyR^2$$

$$(xy)_R = xyR = (xR \cdot yR)/R = x_R y_R / R$$

Montgomery Reduction

$$x_R \rightarrow x_R R^{-1} \bmod Q$$

$$= x \bmod Q$$

$$x_R \cdot y_R \rightarrow x_R y_R R^{-1} \bmod Q$$

$$= xyR \bmod Q$$

$$= (xy)_R \bmod Q$$

$$(xy)_R \cdot z_R \rightarrow (xyz)_R \bmod Q$$

Algorithm 3 Signed Montgomery reduction

Require: $0 < q < \frac{\beta}{2}$ odd, $-\frac{\beta}{2}q \leq a = a_1\beta + a_0 < \frac{\beta}{2}q$ where $0 \leq a_0 < \beta$

Ensure: $r' \equiv \beta^{-1}a \pmod{q}$, $-q < r' < q$

- 1: $m \leftarrow a_0 q^{-1} \bmod \pm \beta$ ▷ signed low product, q^{-1} precomputed
- 2: $t_1 \leftarrow \left\lfloor \frac{mq}{\beta} \right\rfloor$ ▷ signed high product
- 3: $r' \leftarrow a_1 - t_1$

```
static int16_t fqmul(int16_t a, int16_t b) {
    return montgomery_reduction((int32_t)a*b);
}
```

For input $a_R \cdot b_R$,

Return $a_R b_R (2^{16})^{-1} \bmod Q$

```
int16_t montgomery_reduction(int32_t a)
{
    int16_t m;
    int32_t t;

    m = a*QINV; /* a_0*q^{-1} mod 2^{16};
    t = (a - (int32_t)m*KYBER_Q) >> 16;
    return t;
}
```

연구 방향성

- NTT를 사용하지 않는 KYBER 구현
 1. NTT domain에서 sampling하여 얻은 행렬 A 를 일반적인 sampling 공간의 행렬로 변환할 수 있는지 확인
 2. NTT 없이 동작하는 KYBER를 구현할 때의 test vector 생성 및 검증
 3. Modular multiplication 없이 연산할 때 성능 부담이 없는지 확인

감사합니다